



UNIVERSITÀ  
DEGLI STUDI  
FIRENZE

# Convolutional Neural Network

Dario Mezzasalma

7 luglio 2025

# Contents

<b>1</b>	<b>Introduzione</b>	<b>3</b>
<b>2</b>	<b>MLP</b>	<b>3</b>
<b>3</b>	<b>Res-MLP</b>	<b>4</b>
<b>4</b>	<b>CNN</b>	<b>5</b>
<b>5</b>	<b>CAM (Class Activation Map)</b>	<b>7</b>

# 1 Introduzione

In questo laboratorio si vuole verificare la relazione tra la profondità di una rete neurale e le performance ottenute dimostrando anche l'importanza delle reti residuali che attraverso le skip-connection rendono l'addestramento più stabile in termini di flusso del gradiente.

Setup:

- **Learning rate:** inizialmente settato a 0.01 con scheduler StepLR
- **Ottimizzatore:** Adam
- **Batch size:** 64
- **Epoche di training:** 20

## 2 MLP

Inizialmente ho implementato un semplice MLP (Multi Layer Perceptron) con solo layer lineari.

Ho valutato le performance di questo modello al variare della profondità: 4, 8, 16, 32.

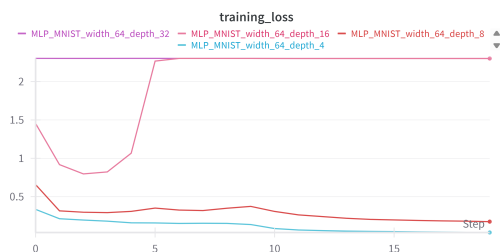


Figure 1: Training loss - MLP

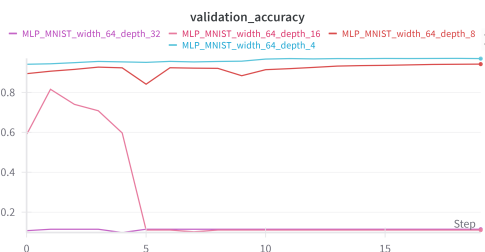


Figure 2: Validation Accuracy - MLP

Dal grafico si nota che all'aumentare della profondità della rete le performance peggiorano, e questo è spiegabile attraverso il fenomeno del *Vanishing Gradient*.

Infatti andando a valutare la norma dei gradienti per ogni layer della rete si può osservare che, nel caso delle reti di  $depth = 16$  e  $depth = 32$ , la norma dei gradienti è nulla (ciò porta al non aggiornamento dei parametri apprendibili, quindi la rete non sta imparando).

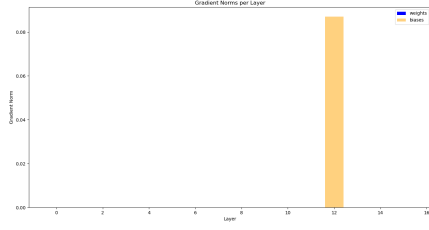


Figure 3:  $depth = 16$

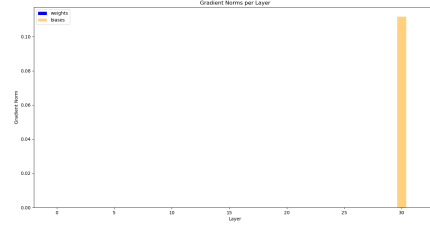


Figure 4:  $depth = 32$

Figure 5: Norma dei gradienti per layer

Quando, però, modifico la rete aggiungendo dei layer di *BatchNorm* successivi ad ogni layer lineare, il training diventa più stabile portando a ottime prestazioni in termini di accuracy.

Per quanto riguarda invece la rete con  $depth = 32$ , l'addestramento risulta molto altalenante con risultati pessimi. Questo potrebbe essere dovuto al fatto che la classificazione su MNIST è un task relativamente semplice per un modello così complesso.

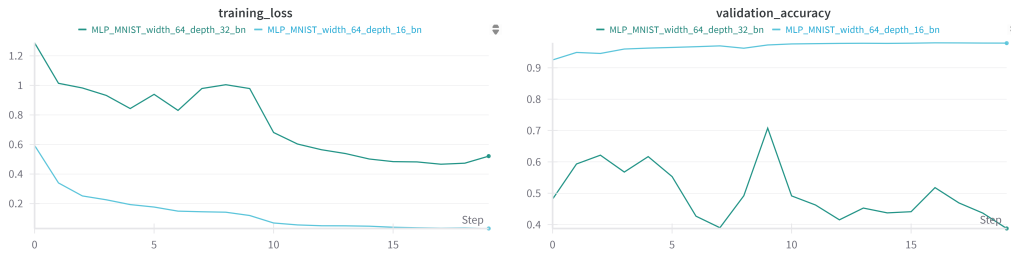


Figure 6: Curve di training loss e validation accuracy - MLP con BatchNorm

Proviamo adesso ad effettuare gli stessi esperimenti utilizzando le *skip-connection* messe in pratica nelle *reti residuali*.

### 3 Res-MLP

Dai grafici sottostanti si osserva che, l'addestramento della rete profonda a 32 layer con ResidualMLP è stato significativamente più stabile, senza oscillazioni marcate. Inoltre, ha raggiunto un'accuratezza finale del 94% , risultato non ottenuto con l'MLP standard. Questo conferma che l'introduzione delle connessioni residuali facilita l'ottimizzazione anche in architetture più profonde, mitigando problemi legati alla degradazione delle prestazioni.

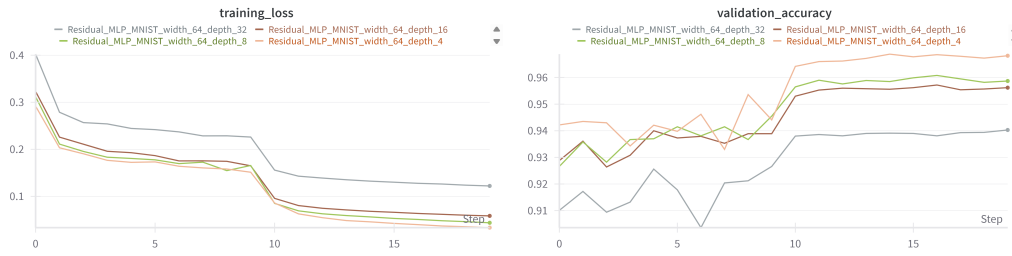


Figure 7: Curve di training loss e validation - ResMLP

Un'ulteriore conferma di quanto osservato è fornita dal grafico relativo al flusso del gradiente, che evidenzia come le connessioni residue contribuiscano a mitigare il problema del *Vanishing Gradient* nelle reti profonde.

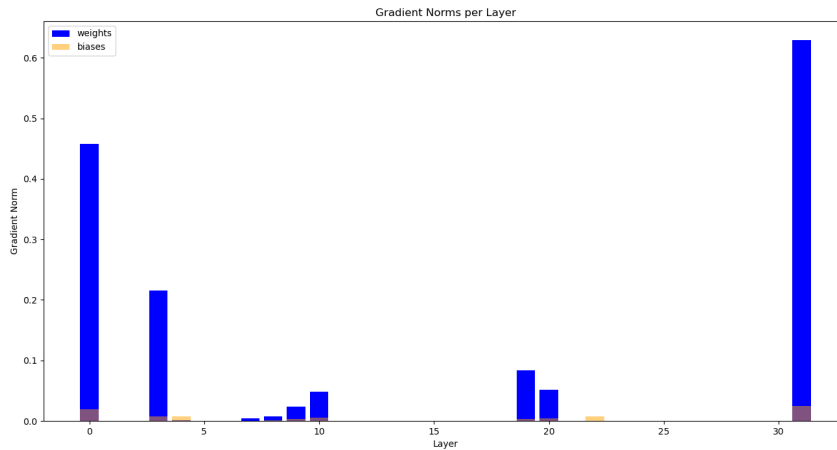


Figure 8: Norma dei gradienti - ResMLP a 32 layer

## 4 CNN

Poiché il task di classificazione su MNIST risulta piuttosto semplice, ho deciso di sperimentare l'utilizzo delle CNN su un dataset più complesso come CIFAR-10.

In questo caso, settiamo diversamente gli iperparametri:

- **Epoche:** 30

- **Learning rate:**  $10^{-3}$  con scheduler StepLR
- **Batch size:** 128

L'ottimizzatore è uguale a quello del caso precedente. Per quanto riguarda i layer convoluzionali fissiamo:

- **Kernel size:** 3
- **Numero di filtri:** 64
- **Padding:** 1

Come nei precedenti paragrafi, studiamo le curve di training loss e di validation accuracy al variare del numero di layer convoluzionali: 4, 8, 16, 32.

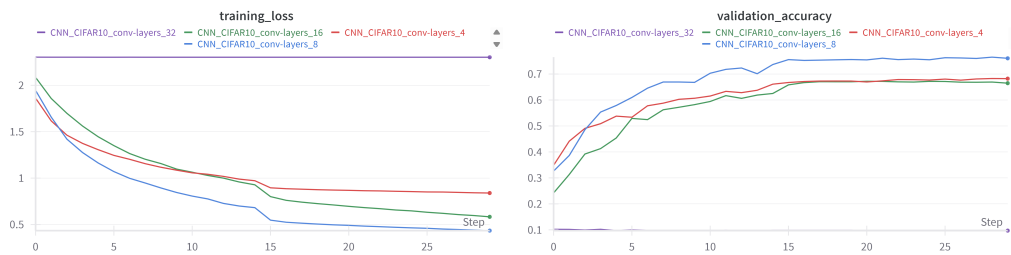


Figure 9: Curve di training loss e validation accuracy - CNN

La rete più profonda (32 layer) è quella che soffre il problema del *Vanishing Gradient*, le altre invece presentano prestazioni piuttosto simili. La rete convoluzionale a 8 layer raggiunge un accuracy del 76.06% che è il maggior risultato ottenuto.

Utilizziamo la versione con *Residual Block* solo per le due reti più profonde.

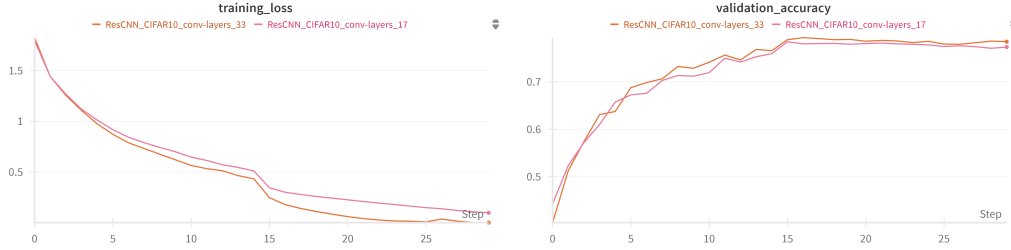


Figure 10: Curve di training loss e validation accuracy - ResCNN

## 5 CAM (Class Activation Map)

Ho utilizzato la rete *Resnet18* pre-addestrata e implementato CAM (Class Activation Map) per la spiegazione delle singole predizioni del modello.

$$\text{CAM}_c(x, y) = \sum_k w_k^c \cdot f_k(x, y)$$

dove  $w_k^c$  rappresenta il contributo della feature-map  $k$  sulla classe  $c$  e  $f_k(x, y)$  rappresenta la feature-map  $k$  in posizione spaziale  $(x, y)$ . Le feature-map di cui si parla sono estratte dall'ultimo layer convoluzionale della rete.

Ho estratto due immagini dal dataset *Imagenette* a bassa risoluzione (160x160): la prima di classe *tench* e la seconda di classe *English springer* e valutato la heat-map calcolata attraverso la suddetta formula.

L'output di CAM è il seguente:

CAM corretta

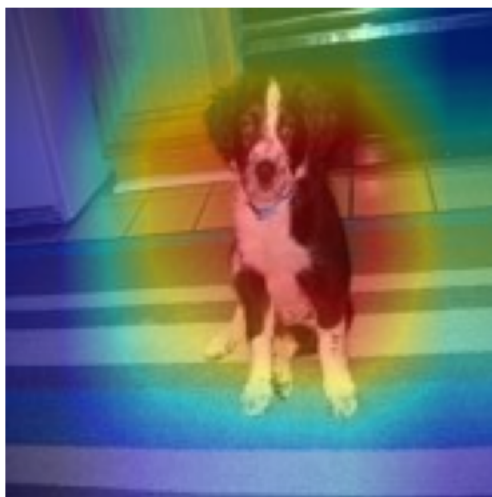


Figure 11: CAM per l'immagine di classe English Springer